

УДК 539.3/4:534(0.31)

**В.П. ЖАРОВ, В.И. ИГНАТЕНКО**

**МАТЕМАТИЧЕСКАЯ МОДЕЛЬ  
НАПРЯЖЁННО-ДЕФОРМИРУЕМОГО СОСТОЯНИЯ  
ПРУЖИННОГО ЗУБА КУЛЬТИВАТОРА  
НА МИКРОУРОВНЕ В ПОЛЯРНЫХ КООРДИНАТАХ**

*Приводится вывод математической модели НДС криволинейного бруса переменного сечения и кривизны в полярных координатах, допускающего решение через степенные и логарифмические функции.*

**Ключевые слова:** математическая модель, криволинейный брус, напряженно-деформированное состояние.

**Введение.** В современном культиваторостроении широко применяются пружинные зубья и стойки для крепления рабочих органов. Считается, что благодаря возникающим вибрациям они лучше рыхлят, меньше забиваются и могут обходить препятствия. В качестве типового на рис.1,а приведён пружинный зуб КПЦ с S-образной стойкой сечением 10x30 мм, разноориентированным по длине стойки.

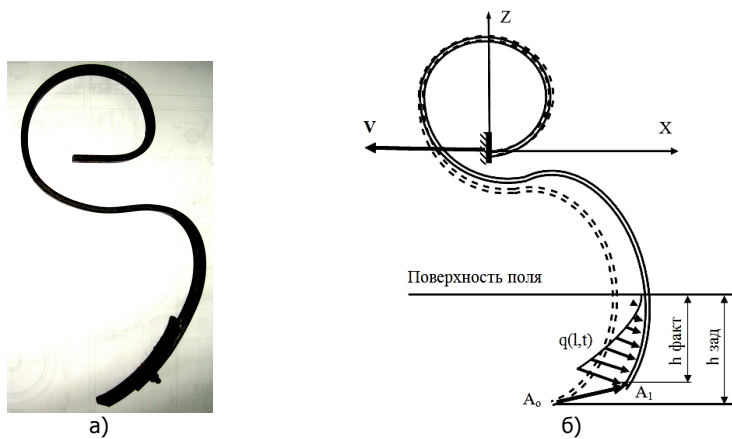


Рис.1. Пружинный зуб культиватора: а – общий вид; б – расчётная схема

Соотношение большего размера сечения к длине более 1/30. С точки зрения строительной механики такую пружинную стойку следует отнести к плоским кривым брусам переменного сечения и кривизны. Расчётная схема пружинного зуба приведена на рис.1. Распределённая по подземной части нагрузка  $q(l, t)$  приложена в плоскости стойки, имеет постоянную составляющую  $q_0$ , на которую накладывается переменная  $q_v(t)$ . Под действием нагрузки стойка получает упругие деформации  $s(l,t)$ , её конфигурация изменяется (пунктиром показано начальное положение, сплошным – под нагрузкой).

Направление смещений и технологические преимущества стойки определяет конфигурация стойки. Задавать конфигурацию как соотношение между координатами  $z = z(x)$  нерационально, так как функция получа-

ется неоднозначной. Более рационально задавать конфигурацию в параметрической форме двумя зависимостями:

$$x = x(l); \quad z = z(l), \quad (1)$$

где  $l$  – длина текущего участка стойки, являющаяся здесь параметром.

Длину  $l$  участков стойки рациональней определять не по его воображаемой осевой линии, недоступной для измерений, а по передней грани. Именно она взаимодействует с почвенной средой, именно её форму регламентируют, а её кривизну указывают на чертежах.

Используя зависимость (1), можно определить переменный радиус кривизны по длине стойки  $R(l)$  по формулам аналитической геометрии:

$$R(l) = \frac{(1 - dz/dx)^{\frac{3}{2}}}{d^2z/dx^2}, \quad (2)$$

где производные функции  $z(x)$  задаются через производные по параметру  $l$ :

$$dz/dx = z'(l)/x'(l); \quad d^2z/dx^2 = \frac{x'(l)z''(l) - z'(l)x''(l)}{[x'(l)]^3}. \quad (3)$$

**Формулировка проблемы.** Пружинные зубья просты по конструкции и эффективны в работе. Но они имеют и недостатки, проистекающие из их достоинств: работая вблизи порога прочности, они имеют постоянные проблемы с прочностью и долговечностью. Напряжённо-деформированное состояние (НДС) пружинных стоек обычно рассчитывают по формулам сопромата [1, 3], рассматривая равновесие отсечённой части с применением гипотезы плоских сечений. При такой структуризации получается лишь приближённая модель на макроуровне, не способная описывать поля напряжений в упругой стойке как сплошной среде.

**Постановка задачи.** Пружинный зуб, взаимодействующий с почвенной средой, является объектом с распределёнными параметрами по длине стойки, находящейся под действием распределённой нагрузки. Стоит задача создания математического описания НДС пружинного зуба на микроуровне как краевую задачу с использованием уравнений теории упругости в частных производных.

**Разработка модели НДС пружинного зуба.** Объект моделирования представляет упругое тело в виде криволинейного бруса и к нему справедливы базовые соотношения теории упругости. В ней используются уравнения НДС упругого тела в декартовой системе координат, в которой малый элемент представляется соответственно в виде прямоугольного параллелепипеда [1], [2]. Однако их применение к криволинейной стойке имеет проблемы, связанные с невозможностью представления криволинейных тел элементами типа прямоугольного параллелепипеда.

Лучшие результаты для криволинейного тела даёт применение дугообразного элемента  $abcd$ , центр кривизны которого совмещён с центром кривизны  $O$  рассматриваемого текущего сечения стойки (рис.2) с радиусом кривизны  $R$  и углом наклона  $\theta$ . Элемент ограничен двумя сечениями, проходящими через центр кривизны и составляющими угол  $d\theta$ . Радиус ближней грани элемента  $r$ , высота элемента  $dr$ , длина  $d\ell$  элемента  $d\ell = r d\theta$ .

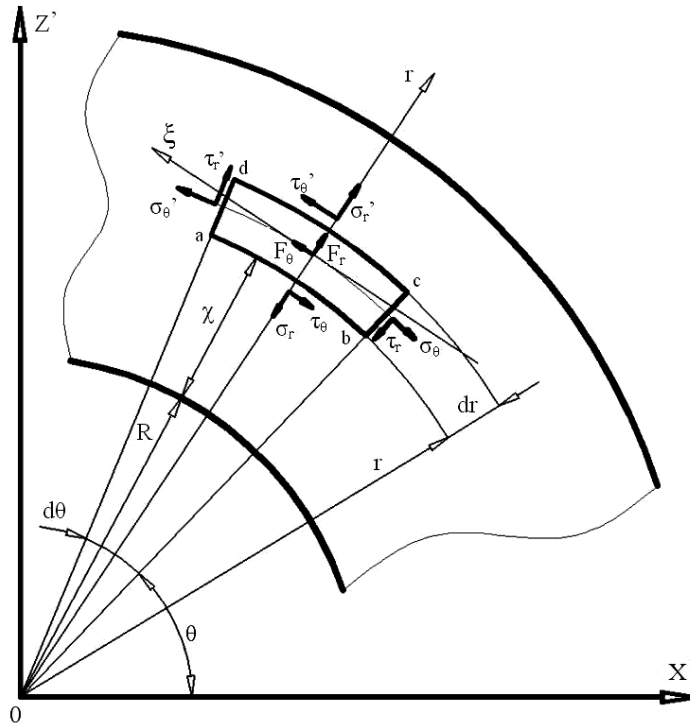


Рис.2. Расчётная схема НДС пружинного зуба

Рассмотрим равновесие элемента. На гранях элемента действуют нормальные напряжения  $\sigma_\theta$   $\sigma_\theta'$   $\sigma_r$   $\sigma_r'$  и тангенциальные  $\tau_\theta$   $\tau_\theta'$   $\tau_r$   $\tau_r'$ . Напряжения на противоположных гранях связаны через приращения  $\Delta\sigma_r$ ,  $\Delta\sigma_\theta$ ,  $\Delta\tau_r$  и  $\Delta\tau_\theta$ :

$$\sigma_r' = \sigma_r + \Delta\sigma_r; \sigma_\theta' = \sigma_\theta + \Delta\sigma_\theta; \tau_r' = \tau_r + \Delta\tau_r; \tau_\theta' = \tau_\theta + \Delta\tau_\theta. \quad (4)$$

Приращения в линейной постановке выражаются через частные производные:

$$\Delta\sigma_r = \frac{\partial \sigma_r}{\partial r} dr; \Delta\tau_r = \frac{\partial \tau_r}{\partial \theta} d\theta, \Delta\sigma_\theta = \frac{\partial \sigma_\theta}{\partial \theta} d\theta; \Delta\tau_\theta = \frac{\partial \tau_\theta}{\partial r} dr. \quad (5)$$

Умножая напряжения на площадь граней, получаем силы на гранях: нормальные  $F_{\sigma_r} = \sigma_r r d\theta b$ ;  $F_{\sigma_r'} = \sigma_r' (r+dr) d\theta b$ ;  $F_{\sigma_\theta} = \sigma_\theta dr b$ ;  $F_{\sigma_\theta'} = \sigma_\theta' dr b$ ; касательные  $F_{\tau_\theta} = \tau_\theta r d\theta b$ ;  $F_{\tau_\theta'} = \tau_\theta' (r+dr) d\theta b$ ;  $F_{\tau_r} = \tau_r dr b$ ;  $F_{\tau_r'} = \tau_r' dr b$ .

(6)

В центре элемента действует объёмная сила от сил веса или инерции:

$$F_o = m d^2s/dt^2, \quad (7)$$

где масса элемента  $m = \rho b dr d\theta (r + dr/2)$ ;  $\rho$  – плотность материала.

Составляющие силы по оси  $r$  и  $\xi$ :

$$F_{or} = F_o \cos(\theta + d\theta/2); \quad F_{o\xi} = F_o \sin(\theta + d\theta/2). \quad (8)$$

Условие равновесия элемента: проекции всех сил на выбранные оси координат  $r$  и  $\xi$  должны быть равны нулю.

Проекцию на радиальную ось  $r$ :

$$\Sigma F_{ir} = 0 \text{ или } F_r' - F_r - (F_\theta + F_\theta') \sin \theta/2 + F_{\tau_r'} - F_{\tau_r} + F_{or} = 0. \quad (9)$$

Развернув это выражение с помощью выражений (4)-(8) после вычитания, замены  $\sin \theta/2 \approx \theta/2$ , деления на  $r d\theta dr b$  и пренебрежения величинами второго порядка малости, получим:

$$\frac{\partial \sigma_r}{\partial r} + \frac{1}{r} \frac{\partial \tau}{\partial \theta} + \frac{1}{r} (\sigma_r - \sigma_\theta) + \rho g \cos \left( \theta + \frac{d\theta}{2} \right) = 0. \quad (10)$$

Уравнение (10) совпадает с полученными в литературе [1] для кривых брусьев постоянной кривизны.

Проекция на касательную ось  $\xi$ :

$$\Sigma F_{i0} = 0 \text{ или } F_{\theta'} - F_{\theta} + F_{\tau\theta'} - F_{\tau\theta} + F_{\theta\theta} + F_{\tau\tau'} \sin \theta/2 + F_{\theta\xi} = 0. \quad (11)$$

Развернув это выражение с помощью выражений (4)-(8) после вычитания, замены  $\sin \theta/2 \approx \theta/2$ , деления на  $r d\theta dr b$  и пренебрежения величинами второго порядка малости, получим:

$$\frac{\partial \tau_{r\theta}}{\partial r} + \frac{1}{r} \frac{\partial \sigma_\theta}{\partial \theta} + \frac{2\tau_{r\theta}}{r} + F_{\tau\tau} \sin \left( \theta + \frac{d\theta}{2} \right) = 0. \quad (12)$$

Развернув уравнение суммы моментов относительно центра элемента, получим:

$$\Sigma M_o = 0 \text{ или } [1/2 F_{\tau\tau}(r+\Delta r)d\theta + 1/2 F_{\tau\tau'}(r+\Delta r)d\theta] \cos \varphi/2 + 1/2 [F_{\tau\theta}(\Delta r + 1/2 F_{\tau\theta'} \Delta r)] = 0, \quad (13)$$

откуда следует, что равенство будет выполняться при  $\tau_{\theta} = \tau_r = \tau$ .

Неудобство уравнений равновесия (10) и (12) заключается в использовании переменных  $r$  и  $\theta$ , труднодоступных для измерений. Выразим их через более удобные координаты: расстоянию  $\chi$  элемента от поверхности передней грани стойки и от места крепления  $l$ :

$$r = R + \chi; \quad \partial r = \partial(R + \chi) = \partial \chi; \quad R d\theta = d l. \quad (14)$$

Умножив и разделив уравнения на  $R$  и приняв во внимание соотношения (14), получим уравнения упругости через более удобные координаты  $\chi$  и  $l$ :

$$\frac{\partial \sigma_r}{\partial \chi} + \frac{R}{R + \chi} \frac{\partial \tau}{\partial l} + \frac{1}{R + \chi} (\sigma_r + \sigma_\theta) + f_r = 0; \quad (15)$$

$$\frac{\partial \tau}{\partial \chi} + \frac{R}{R + \chi} \frac{\partial \sigma_\theta}{\partial l} + \frac{2\tau}{R + \chi} + f_\xi = 0, \quad (16)$$

где  $f_r$  и  $f_\xi$  – компоненты удельной объемной нагрузки на единицу массы:

$$f_r = \rho g \sin \left( \theta + \frac{d\theta}{2} \right), \quad f_\xi = \rho g \sin \left( \theta + \frac{d\theta}{2} \right). \quad (17)$$

Обращает на себя внимание тот факт, что для прямолинейного бруса, когда  $R \rightarrow \infty$ , эти уравнения превращаются в классические уравнения теории упругости в декартовых координатах [2]. Тем самым выведенные уравнения с учётом кривизны бруса оказываются более общей моделью теории упругости; существующие уравнения теории упругости являются их частным случаем.

Полная математическая модель НДС кривого бруса на микроуровне помимо уравнений равновесия (15), (16) должна включать геометрические уравнения, физические уравнения, уравнение совместности и условия на поверхности.

Геометрические уравнения в полярных координатах, выражающие относительные удлинения  $\varepsilon_r$ ,  $\varepsilon_\theta$  и сдвиг  $\gamma_{\theta r}$  через компоненты перемещений  $s_r$  и  $s_\theta$ , получаются из уравнений Коши в декартовых координатах в виде:

$$\varepsilon_r = \frac{\partial s_r}{\partial r}; \quad \varepsilon_\theta = \frac{\partial s_\theta}{\partial l} + \frac{s_r}{R + \chi}; \quad \gamma_{\theta r} = \frac{\partial s_r}{\partial l} + \frac{\partial s_\theta}{\partial r} - \frac{s_\theta}{R + \chi}. \quad (18)$$

Физические уравнения (закон Гука) аналогичны таковым в декартовых координатах.

Уравнение совместности деформации в полярных координатах формулируется через гармонический оператор над напряжениями  $\sigma_\theta + \sigma_r$  в точке, поскольку в теории упругости сумма напряжений в точке одинакова при любом наклоне площадки, т.е.  $\sigma_x + \sigma_y = \sigma_\theta + \sigma_r$ :

$$\Delta(\sigma_\theta + \sigma_r) = 0. \quad (19)$$

Декартовый гармонический оператор  $\Delta = \frac{\partial^2}{\partial x^2} + \frac{\partial^2}{\partial y^2}$  выразится в полярных координатах через формулы дифференцирования сложного аргумента [1, с. 113]:

$$\Delta = \frac{\partial^2}{\partial r^2} + \frac{1}{r} \frac{\partial}{\partial r} + \frac{\partial^2}{\partial l^2}. \quad (20)$$

Бигармоническое уравнение совместности

$$\Delta^2 \Delta^2 \varphi = 0, \text{ или } \frac{\partial^2}{\partial r^2} + \frac{1}{r} \frac{\partial}{\partial r} + \frac{\partial^2}{\partial l^2} \left( \frac{\partial^2 \varphi}{\partial r^2} + \frac{1}{r} \frac{\partial \varphi}{\partial r} + \frac{\partial^2 \varphi}{\partial l^2} \right) = 0. \quad (21)$$

**Способ решения.** Поскольку напряжения в точке не зависят от выбираемой системы координат, то НДС можно получать, как в классической теории упругости, через функцию напряжений Эри  $\varphi(x, z)$ , но выразив её в полярных координатах [1, с. 112-113].

Не учитывая для простоты выкладок объёмные силы от веса стойки, заменяя  $r$  и  $\theta$  новыми переменными  $\chi, l$  по соотношениям (14), получим напряжения через функцию напряжений в новых координатах  $\varphi(\chi, l)$ :

$$\sigma_r = \frac{1}{R + \chi} \frac{\partial \varphi}{\partial \chi} + \frac{\partial^2 \varphi}{\partial l^2}; \quad \sigma_\theta = \frac{\partial^2 \varphi}{\partial \chi^2}; \quad \tau = \frac{1}{(R + \chi)} \frac{\partial \varphi}{\partial l} - \frac{\partial^2 \varphi}{\partial \chi \partial l}. \quad (22)$$

Тем самым задача о НДС пружинного зуба сводится к поиску функции  $\varphi(\chi, l)$ , удовлетворяющей граничным условиям. Некоторую информацию о её структуре дают наброски сопромата [3]. С точностью до постоянного множителя  $\varphi$  характеризует изгибающий момент  $M$ . С точностью до произвольных постоянных  $A$  и  $B$  он выражается через конфигурацию стойки по соотношениям (1):

$$M = Ax(l) + Bz(l). \quad (23)$$

Распределение напряжений по толщине сечения имеет закон [3, с.219-221]:

$$\sigma(\chi) = C(1 - D/(R + \chi)). \quad (24)$$

Тогда структура функции напряжений может приниматься в виде:

$$\varphi(\chi, l) = [Ax(l) + Bz(l)][C\chi^2 + D\chi \ln(R + \chi) + E\chi + G], \quad (25)$$

где  $A, B, C, D, E, G$  – произвольные постоянные, подлежащие определению.

Произвольные постоянные находятся подстановкой аппроксимации (25) функции напряжений  $\varphi(\chi, l)$  в уравнения (15), (16), (18), (21) с

учётом граничных условий и условий на поверхности пружинного зуба. После определения функции  $\varphi(\chi, l)$  поля напряжений находятся по формулам (22).

**Заключение.** Таким образом, математическое моделирование НДС кривоуго пружинного зуба на микроуровне в полярных координатах приводит задачу к более общим уравнениям, чем классические уравнения теории упругости в декартовых координатах, и в то же время сохраняет возможности аналитического решения задачи через аппроксимацию функции напряжений степенными и логарифмическими функциями.

#### **Библиографический список**

1. Александров А.В., Потапов В.Д. Сопротивление материалов: Основы теории упругости и пластичности / А.В.Александров, В.Д.Потапов. – М.: Высшая школа, 2002. – 399с.
2. Жилкин В.А. Расчеты на прочность и жесткость элементов сельскохозяйственных машин: учеб. пособие; под ред. В.В.Бледных / В.А. Жилкин. – Челябинск: ЧНАУ, 2004. – 427 с.
3. Феодосьев В.И. Сопротивление материалов: в 8 т.: учеб. для втузов / В.И.Феодосьев. Т.2. – М.: Изд-во МГТУ, 1999. – 589 с.

Материал поступил в редакцию 26.02.08.

**V.P. ZHAROV, V.I. IGNATENKO**

#### **THE MATHEMATICA I MODE I OF STRESS-DEFORMED STATE OF SPRING TOOTH CULTIVATION AT THE MICRO LEVEL IN POLAR COORDINATES**

A withdrawa I of a mathematica I mode I of stress-strain state curved beam changing sections and curvature in polar coordinates, allowing the decision through power and logarithmic functions.

**ЖАРОВ Виктор Павлович** (р. 1937), заведующий кафедрой «Теоретическая механика», доктор технических наук (1980), профессор (1981), Заслуженный работник высшей школы (1996). Окончил РИСХМ (1963) по специальности «Конструирование и производство сельскохозяйственных машин».

Научные интересы связаны с исследованием гидравлических систем автоматического регулирования и управления мобильных машин и технологического оборудования.

Автор более 200 научных трудов, 9 авторских свидетельств и патентов РФ.

**ИГНАТЕНКО Виталий Иванович** (р.1984), ассистент кафедры «Теоретическая механика». Окончил ДГТУ (2006) по специальности «Управление и информатика технических систем».

Научные интересы связаны с исследованием динамики и прочности упругих систем сельскохозяйственных машин.

Имеет 6 научных статей.